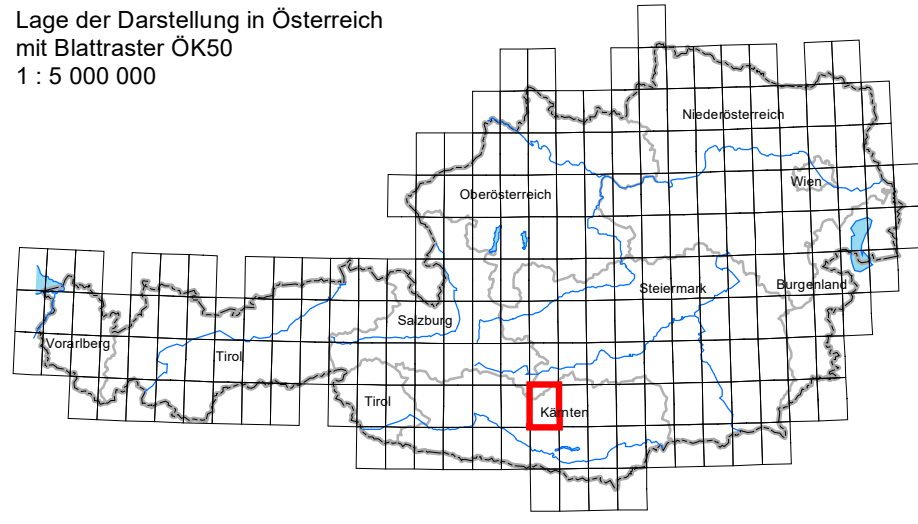
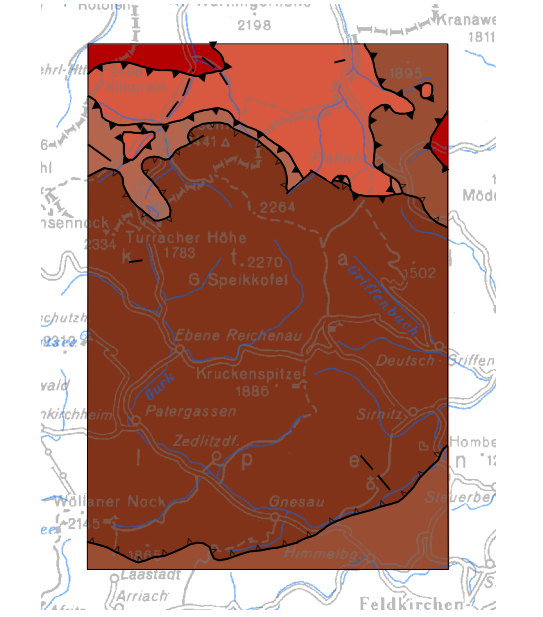


Lage der Darstellung in Österreich
mit Blattreferenz OK50
1:5 000 000



Geologisch-tektonische Übersicht 1:400 000

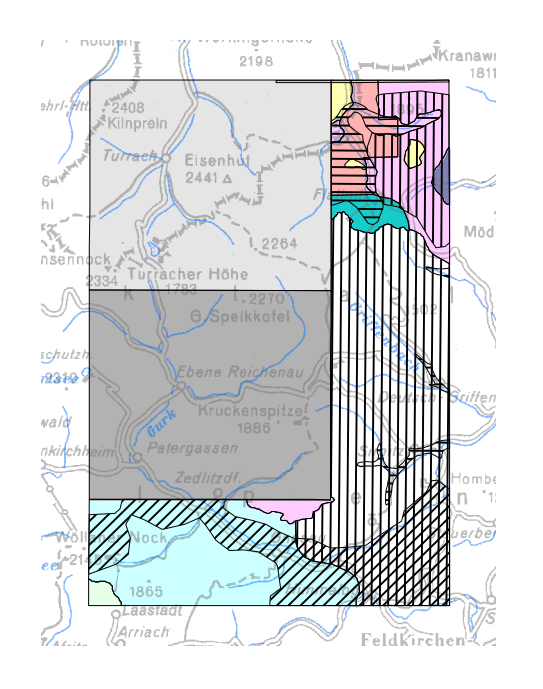


- Alpidisches Orogen**
- Ostalpin
 - Oberostalpin
 - Drauzug-Gurktal-Deckensystem
 - Stolzalpe-Decke
 - Königsstuhl-Teildecke
 - Murau-Decke
 - Ötztal-Bundschuh-Deckensystem
 - Bundschuh-Decke
 - Koralpe-Wölz-Deckensystem
 - Gastoder-Decke

Ermöglicht im Verlag der Geologischen Bundesanstalt - www.geologie.ac.at, A-1030 Wien, Neulinggasse 38.
© 2020 Geologische Bundesanstalt für den Datennetz und alle abgeleiteten Produkte -
Topografie © BEV - 2020. Vervielfältigt mit Genehmigung des BEV - Bundesamtes für Eich- und Vermessungswesen in Wien, N 2020/06237

Projektleiter: H. G. Krenmayr,
Redaktion: W. Frank,
GIS-Datenbank: I. Bayer,
Layout: I. Bayer

Übersicht der eingearbeiteten Karten



- 1 C. Iglseder et al., 2019
- 2 C. Iglseder, 2011-2017
- 3 F. R. Neubauer, 1980
- 4 M. Weissenbacher, 2012-2014
- 5 E. J. Zivk, 1955
- 6 J. Pistotnik, 2003
- 7 R. Holzer & Ch. Gottsching, 1997
- 8 interpoliert aus S. Hollnietz, 2018
- 9 H.P. Schönlaub et al., 2019
- 10 C. Iglseder, 2018-2019
- 11 P. Beck-Mannagetta, 1959
- 12 D. van Husen, 2006-2017
- 13 F.H. Uok, 1993

Kompilation:
G. Griesmeier & C. Iglseder (GBA, 2020)

Unter Verwendung Lizensaten:
GIS Steiermark, GIS2 und KAGIS

Hinweis für Nutzer:innen
GEOFAST-Karten werden überwiegend aus Archivunterlagen der Geologischen Bundesanstalt erstellt. Ergänzend können auch publizierte Karten, meist älteren Datums, in die Zusammenstellung einfließen. Eine Überprüfung durch zusätzliche Geländebegehungen erfolgt nicht. Diskontinuitäten zwischen den verwendeten Kartenunterlagen verschiedener Autoren werden bewusst beibehalten und können sich als Sprünge in den Konturlinien äußern. Geologische Inhalte werden in die aktuellen stratigraphischen und tektonischen Modelle überführt. Aufgrund der Übertragung der geologischen Inhalte von Karten mit veralteter Topografie und größeren Maßstäben in die aktuelle topografische Grundkarte sind Lagegenauigkeiten vorhanden.



- QUARTÄRE SEDIMENTE UND FORMEN**
- 1 Anthropogene Ablagerung, Schutt
 - 2 Deponiekörper
 - 3 Bach- und Flussablagerung
 - 4 Erosionskante
 - 5 Schwenkweg; Silt, Sand, Kies, Steine
 - 6 Vermaasung, Anmoor
 - 7 Hochmoor, Niedermoer, Torf
 - 8 Hangschuttablagerung, Schuttkegel; Schutt, Steine, Blöcke
 - 9 Abrisskante einer Massenbewegung
 - 10 Bergerzürung, Zerspalle, Zerrgraben
 - 11 Antithetischer Bruch
 - 12 Tiefgreifend aufgelockerter Fels
 - 13 Blockgletscherablagerung
 - 14 Blockgletscherablagerung mit Wallform
 - 15 End- und Seitenmoränenablagerung; Diamikt mit Wallform
 - 16 Grundmoränenablagerung; Diamikt
 - 17 Karneablagerung; Silt, Sand, Kies mit Osform
 - 18 Schuttstromablagerung aus Moräne, Schutt
 - 19 Verschwemme, sofluvial umgelagerte Moränenablagerung, Diamikt
 - 20 Sofluktionschutt, teils mächtig, auf unverteilteten Hängen; Silt, Sand, Schutt, Steine
 - 21 Felssturzblockwerk der unmittelbaren Eiszerfallphase
 - 22 Staukörper am Eisrand, Eisrandablagerung; Silt, Sand, Kies, Stein
 - 23 Eisstauseeablagerung; Ton, Silt, Sand, Kies, Steine
 - 24 Driftblock aus Stangnock-Formation
 - 25 Subglaziale Schmelzwasserinne, ehemaliger Gletscherabfluss
 - 26 Erratischer Block aus Orthogneis
 - 27 Erratischer Block aus Stangnock-Formation
 - 28 Erratischer Block aus Amphibolit
 - 29 Rundhöcker
 - 30 Blockgletscherablagerung
 - 31 Moränenstreu; Diamikt
 - 32 End- und Seitenmoränenablagerung; Diamikt mit Wallform
 - 33 Grundmoränenablagerung, Ablationsmoränenablagerung; Diamikt
 - 34 Staukörper am Eisrand (Görzbach, Kotzgraben); Silt, Sand, Kies, Steine
- OSTALPIN**
- Drauzug-Gurktal-Deckensystem**
- 35 Stangnock-Formation (Meta-)Sandstein, untergeordnet (Meta-)Konglomerat und Tonschieferlagen, schwach metamorph
 - 36 Tonschiefer (teilweise Kohle und Pflanzenfossilien führend; Moskovium - Kasimovium)
 - 37 Metadolent (basaltisch-trachyandesitisch, Pyroxen- und Feldspat-Porphyrblasten, vergrünt, gangförmig; Perm)
 - 38 Dolomitmarmor (hellgrau bis rotrot, massig, teilweise Phyllitlagen, Quarz- und Kalzitadern führend, "Eisendolomit"; ?Oberordovizium - Untere Devon)
 - 39 Chlorschiefer, Chloritphyllit, untergeordnet Grünschiefer
 - 40 Metatuff, Metatuffit, Chloritphyllit, Grünschiefer (wechselschichtend, untergeordnet Phyllitlagen)
 - 41 Chlorschiefer, Grünschiefer (karbonatisch, teilweise Metatuff)
 - 42 Chlorschiefer, Grünschiefer (gebändert)
 - 43 Chlorschiefer (grünlichgrau, untergeordnet Metasandsteinlagen, Quarz-Phyllit)
 - 44 Metatuff, Metatuffit (grauviolett bis grünlichgrau, basisch-intermediär, teilweise Metalyaloklastit- und Metabombentufflagen, selten Phyllit)
 - 45 Metalyaloklastit (dunkel- bis hellgrün, Glastragmente)
 - 46 Metatuff (mylonitisch, hell, Quarz-Porphyrblasten, geschiefert, teilweise Erz führend; Oberordovizium)
 - 47 Metatuffituff, Metabombentuff, Metatuff-Brezie
 - 48 Metabasalt, Metadolent, (Pillow-)Lava (massig, Pyroxen führend, teilweise gangförmig)
 - 49 Metadolent (basaltisch-trachyandesitisch, Pyroxen- und Feldspat-Porphyrblasten, vergrünt, gangförmig; Perm)
 - 50 Quarz-Phyllit (grau bis dunkelgrau, deformierte Quarzadern und Quarzlagen, Chlorit und Serzit führend, teilweise mylonitisch)
 - 51 Metabasalt, Metadolent (basaltische Intrusiva, massig, pyroxenreich, selten Grünschiefer, teilweise gangförmig; "Metadiabas")
 - 52 Metatuff, Metatuffit (grauviolett bis grünlichgrau, basisch-intermediär, teilweise mit Phyllitlagen)
 - 53 Kalzitmarmor (feinkörnig, weiß-grau, gebändert, mylonitisch)
 - 54 Dolomitmarmor (dunkel- bis hellgrau, Eisenerz führend, gebändert, reich an Quarzadern, selten mylonitisch, "Eisendolomit")

- 55 Phyllit (feinlaminiert)
 - 56 Phyllit (quarzitisch)
 - 57 Graphitschiefer (phyllitisch, dunkelgrau bis schwarz)
 - 58 Quarzit (hell, sandig)
 - 59 Metaglimmer (rhyolithischer Schmelztuff, massig, teilweise geschiefert, grünlich, Quarz-Porphyrblasten, "Porphyroid"; Unterordovizium - Mittelordovizium)
 - 60 Chlorschiefer, Chloritphyllit, untergeordnet Grünschiefer (teilweise Quarz und Eisenerz führend)
 - 61 Metasandstein, Metasiltstein, Metaarkose, Tonschiefer, Quarz-Phyllit (wechselschichtend, grau bis grünlichgrau, siliziklastisch, teilweise quarzitisches, graphitisches) Metaarkose, Metasandstein
 - 62 Werrschirm-Formation (Metakonglomerat, Metasandstein, Phyllit, wechsellagernd, rötlich, Gerölle aus Kalkstein, Csurallium)
 - 63 Stangnock-Formation (Metakonglomerat, Metasandstein, Phyllit, Tonschiefer, wechsellagernd, teilweise Anthrazit und Graphit führend, geschiefert und mylonitisch; Moskovium - Kasimovium) St und Graphit führend, Pflanzenfossilien führend
 - 64 Metakonglomerat (teilweise quarzitisches, mylonitisch) Metakonglomerat, Metasandstein (Gerölle aus Quarz und Lydit)
 - 65 Metakonglomerat (Gerölle aus Orthogneis und Paragneis)
 - 66 Kalzitmarmor (feinkörnig, weißgrau gebändert, unrein, teilweise Quarz- und Chloritphyllitlagen, mylonitisch)
 - 67 Dolomitmarmor (hellgrau bis rotrot, massig, Quarz- und Kalzitadern führend, teilweise Phyllitlagen und mylonitisch, "Eisendolomit"; ?Oberordovizium - Untere Devon)
 - 68 Metatuff, Metatuffit, Chloritphyllit, untergeordnet Phyllitlagen, mylonitisch
 - 69 Glimmerschiefer (phyllitisch, meist Granat führend)
 - 70 Dolomitmarmor, Kalzitmarmor, metaklastische Einschaltungen
 - 71 Metabasalt, Grünschiefer, "Metadiabas"
 - 72 Quarzit
 - 73 Metatuff (sauer bis intermediär)
- Ötztal-Bundschuh-Deckensystem**
- 74 Leckenschöber-Lithodem (Kalzitmarmor, mittel- bis dunkelgrau, teilweise grau-weiß-bunt gebändert, unrein, an der Basis brekziert mit Dolomitkomponenten, mylonitisch; Jura - Unterperm)
 - 75 Metadolent (grünlichgrau bis gelblichweiß, Serzit und Chlorit führend, quarzitisches und mylonitisch; Oberjura)
 - 76 Glimmerschiefer, Chlorschiefer, Chloritphyllit, Quarzit (karbonatisch, selten graphitisch, teilweise Biotit und Serzit führen (Jura?))
 - 77 Karnerboden-Lithodem; Dolomitmarmor (dunkelgrau, gebändert, mit Serzitlagen und Kalzitadern, ins Hangende kataklatisch und Kalzitadern führend, teilweise Fossilien führend und mylonitisch, Norium - Rhaetium)
 - 78 Kalzitmarmor (warz-grau, Schieferlagen, mylonitisch und graphitisch, Fossilien führend; Rhaetium)
 - 79 Bockbühel-Lithodem; Phyllit, Glimmerschiefer (feinkörnig, grau bis schwarz, teilweise bläulich bis grünlich, Quarzlagen, mylonitisch; Ladinium - Karnium)
 - 80 Weißwände-Lithodem; Dolomitmarmor, (grau-weiß gebändert, Serzit und Kalzitadern führend, mylonitisch; Anisium - Karnium)
 - 81 Kalzitmarmor (weiß-gelblich gebändert, serzitisch, teilweise Hornstein führend; ?Anisium - ?Ladinium)
 - 82 Phyllit, Metamergestein (dunkelgrau, Biotit führend, karbonatisch, selten Rauhwacke; Anisium)
 - 83 Lantschfeldquarzit; Quarzit (weiß bis graubraun, Serzit führend und mylonitisch, detritar Helgimmar und Turmain führend; ?Lopingium - Olenekium)
 - 84 Bundschuh-Orthogneis-Lithodem; Orthogneis, Augengneis, granitisch (Mittel- bis Oberordovizium) Orthogneis, mylonitisch
 - 85 Paragneis, Glimmerschiefer (biotitreich und phyllitisch)
 - 86 Glimmerschiefer (teilweise quarzitisches, biotitreich und Granat führend)
 - 87 Paragneis (Granat führend)
 - 88 Paragneis (Graphit führend)
 - 89 Paragneis mit Plagioklas-Blasten; Metaarkose und Metagrauwacke
 - 90 Paragneis, mylonitisch
 - 91 Paragneis, Glimmerschiefer (quarzitisches und biotitreich)
- Koralpe-Wölz-Deckensystem**
- 92 Gastoder-Decke
 - 93 Graphitschiefer
 - 94 Amphibolit, Granatamphibolit, Hornblende-Granat-Schiefer, teilweise Biotit-Pseudomorphosen
 - 95 Kalzitmarmor (grobkörnig, weiß-grau, gelb, rosa, teilweise gebändert und Graphit führend)
 - 96 Granatglimmerschiefer, phyllonitisch
 - 97 Granatglimmerschiefer, Großgranat führend
 - 98 Granatglimmerschiefer, quarzitisches, Staurolith und Disthen führend
 - 99 Granatglimmerschiefer, quarzitisches
- Speisriegel-Komplex ?Untere Devonium - ?Oberordovizium**
- 100
 - 101
 - 102
 - 103
- Werra-Hochglazial - Spätglazial**
- 104
 - 105
 - 106
 - 107
 - 108
 - 109
 - 110
 - 111
 - 112
 - 113
 - 114
 - 115
 - 116
 - 117
 - 118
 - 119
 - 120
 - 121
 - 122
 - 123
 - 124
 - 125
 - 126
 - 127
 - 128
 - 129
 - 130
 - 131
 - 132
 - 133
 - 134
 - 135
 - 136
 - 137
 - 138
 - 139
 - 140
 - 141
 - 142
 - 143
 - 144
 - 145
 - 146
 - 147
 - 148
 - 149
 - 150
 - 151
 - 152
 - 153
 - 154
 - 155
 - 156
 - 157
 - 158
 - 159
 - 160
 - 161
 - 162
 - 163
 - 164
 - 165
 - 166
 - 167
 - 168
 - 169
 - 170
 - 171
 - 172
 - 173
 - 174
 - 175
 - 176
 - 177
 - 178
 - 179
 - 180
 - 181
 - 182
 - 183
 - 184
 - 185
 - 186
 - 187
 - 188
 - 189
 - 190
 - 191
 - 192
 - 193
 - 194
 - 195
 - 196
 - 197
 - 198
 - 199
 - 200
 - 201
 - 202
 - 203
 - 204
 - 205
 - 206
 - 207
 - 208
 - 209
 - 210
 - 211
 - 212
 - 213
 - 214
 - 215
 - 216
 - 217
 - 218
 - 219
 - 220
 - 221
 - 222
 - 223
 - 224
 - 225
 - 226
 - 227
 - 228
 - 229
 - 230
 - 231
 - 232
 - 233
 - 234
 - 235
 - 236
 - 237
 - 238
 - 239
 - 240
 - 241
 - 242
 - 243
 - 244
 - 245
 - 246
 - 247
 - 248
 - 249
 - 250
 - 251
 - 252
 - 253
 - 254
 - 255
 - 256
 - 257
 - 258
 - 259
 - 260
 - 261
 - 262
 - 263
 - 264
 - 265
 - 266
 - 267
 - 268
 - 269
 - 270
 - 271
 - 272
 - 273
 - 274
 - 275
 - 276
 - 277
 - 278
 - 279
 - 280
 - 281
 - 282
 - 283
 - 284
 - 285
 - 286
 - 287
 - 288
 - 289
 - 290
 - 291
 - 292
 - 293
 - 294
 - 295
 - 296
 - 297
 - 298
 - 299
 - 300

- Diverse Zeichen**
- Störung (gesichert)
 - Störung (vermutet)
 - Deckengrenze (gesichert)
 - Deckengrenze (vermutet)
 - Deckengrenze überkippt (gesichert)
 - Teildeckengrenze (gesichert)
 - Teildeckengrenze (vermutet)
 - Streichen und Fallen der Schieferung und Schichtung
 - 0 - 5°
 - 5 - 30°
 - 30 - 60°
 - 60 - 85°
 - Streichen und Fallen der Achsenfläche
 - 0-5°
 - 6-30°
 - 31-60°
 - 61-85°
 - Abtauchrichtung und -winkel der Lineation
 - 0-5°
 - 6-30°
 - 31-60°
 - 61-85°
 - Abtauchrichtung und -winkel der Falenachse
 - 0-5°
 - 6-30°
 - 31-60°
 - Sonstige
 - Fundstelle von Makrofossilien
 - Fundstelle von Mikro- und Nanofossilien
 - Fundstelle von Pflanzenfossilien
 - Steinbruch
 - Sandgrube, Kiesgrube
 - Brunnen
 - Quelle
 - Erdfall, Pinge
 - Doline
 - Gletschertopf
 - Toteloach
 - Uvala
 - Transgressionskontakt
 - Transgressionskontakt vermutet

1:50 000 (1 cm ≙ 500 m)

Gauß-Krüger-Abbildung, Koordinatensystem M 34 des Bundesmaßstabes